

*Письма в ЖЭТФ, том 19, вып. 9, стр. 571 – 575*                    5 мая 1974 г.

ЕСТЕСТВЕННАЯ ПРОСТРАНСТВЕННАЯ КОГЕРЕНТНОСТЬ  
ЛАЗЕРНЫХ ПУЧКОВ,  
ОПРЕДЕЛЯЕМАЯ СПОНТАННЫМ ИЗЛУЧЕНИЕМ

*С.М.Аракелян, С.А.Ахманов, В.Г.Тункин, А.С.Чиркин*

В одномодовом Не – Не газовом лазере получена высокая степень пространственной когерентности; отличия нормированной корреляционной функции в центре пучка от единицы не превышают нескольких единиц на  $10^{-5}$ . Показано, что речь идет фактически о предельной, "естественной" пространственной когерентности, определяемой спонтанным шумом. Экспериментальные данные интерпретированы с привлечением двух моделей пространственной статистики лазерного излучения: модели "сигнал + шум" и модели колебания, испытывающего амплитудные и фазовые флуктуации. Лазер с высокой пространственной когерентностью может существенно расширить возможности исследования рассеяния света под малыми углами.

1. Предметом настоящей статьи является изложение результатов проведенных с высокой степенью точности измерений нормированной поперечной корреляционной функции поля  $E$

$$\gamma(s) = \frac{\langle E_1(\mathbf{r}, t) E_2^*(\mathbf{r} + \mathbf{s}, t) \rangle}{\sqrt{\langle E_1^2 \rangle} \sqrt{\langle E_2^2 \rangle}} \quad (1)$$

одномодового Не – Не газового лазера ( $\lambda = 0,633 \text{ мкм}$ ). Установлено, что вблизи центра пучка газового лазера с тщательно отселектирован-

ной низшей поперечной модой,  $y(s)$  отличается от единицы не более чем на несколько единиц  $10^{-5}$ .

Показано, что в опыте фактически впервые зарегистрирована "естественная" пространственная некогерентность лазера. Знание указанной величины, помимо принципиального интереса, позволяет оценить предельные возможности регистрации коллинеарного рассеяния в опытах по рассеянию света, изучения влияния слабых обратных рассеяний на работу лазеров и т. п.

2. В отличие от данных по временной статистике, данные по пространственной статистике одномодовых лазеров неполны и противоречивы (см., например, [1]). Хотя, по аналогии с временной статистикой, можно говорить об "естественном" и "техническом" уширении углового спектра, эти величины не представляют большого интереса; они дают лишь малые поправки к значительной ширине углового спектра, обусловленной регулярной пространственной модуляцией — конечным поперечным сечением пучка. Поэтому для пространственной статистики первоочередной интерес представляет интегральная по отношению к угловому спектру характеристика — пространственная корреляционная функция поля<sup>1)</sup>

$$y(s) = \int S(k_{\perp}) \cos k_{\perp} s dk_{\perp}, \quad (2)$$

где  $S(k_{\perp})$  — угловой спектр случайной модуляции лазерного пучка;  $k_{\perp}$  — поперечная компонента волнового числа.

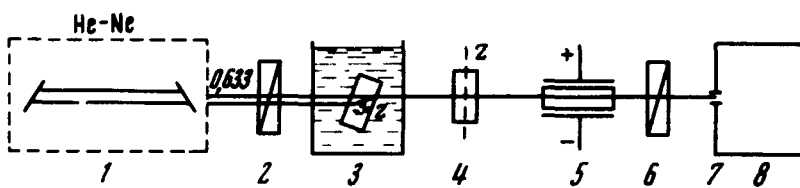


Рис. 1. Блок-схема установки: 1 — лазер; 2 — поляризатор; 3 — плоскопараллельная пластина из одноосного кристалла (ось  $z$  перпендикулярна плоскости чертежа), помещенная в иммерсию; 4 — компенсирующая пластина аналогичная 3, но с осью  $z$  в плоскости чертежа; 5 — фазосдвигающая ячейка, 6 — анализатор, 7 — диафрагма диаметром  $\sim 20 \text{ мкм}$ ; 8 — фотосчетное устройство

3. На рис. 1 представлена блок-схема экспериментальной установки для измерения пространственной когерентности с помощью поляризационного интерферометра [1] и фотосчетной системы регистрации. Точность измерения  $y(s)$  этой методикой обсуждалась нами ранее [2].

Результаты эксперимента представлены на рис. 2. Видно, что величина  $y(s)$  близка к единице практически по всему сечению пучка (вплоть

<sup>1)</sup> С аналогичной ситуацией приходится сталкиваться при исследовании временной статистики излучения импульсных лазеров — здесь также наибольший интерес представляют корреляционные функции. (Ширина линии, обусловленная регулярной модуляцией, превышает техническую и естественную ширину линии).

до точек профиля, где интенсивность в  $10^3$  раз отличается от ее значения в центре пучка). Измерения проводились для разных превышений над порогом генерации (в резонатор лазера вводилась кварцевая пластинка). Зависимость  $\gamma(s)$  от величины относительных потерь в резонаторе показана на рис. 3. Интересно, что хотя наблюдается заметное снижение  $\gamma(s)$  при приближении к порогу, значения  $\gamma(s)$  остаются достаточно высокими и в режиме суперлюминесценции. (Изменение характера пространственной статистики при проходе через порог можно зарегистрировать, измеряя одновременно корреляции интенсивности — см. [1]).

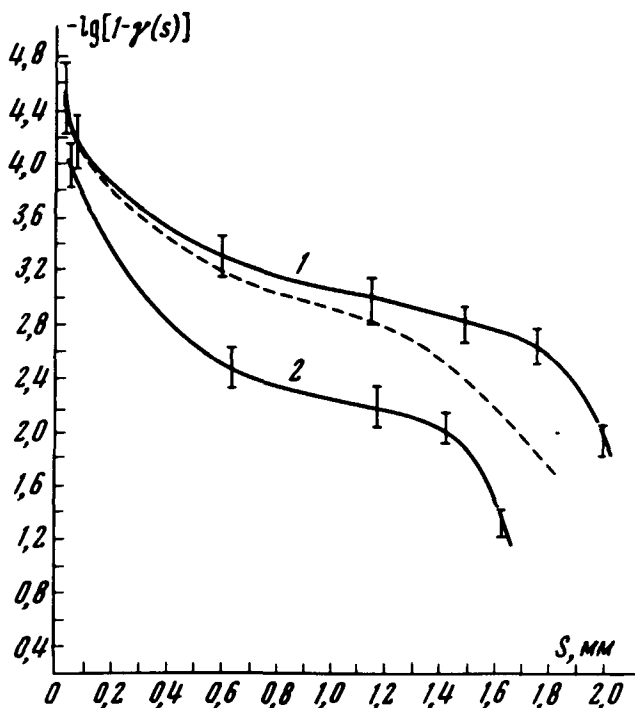


Рис. 2. Функция  $\lg[1-\gamma(s)]$  для двух режимов работы лазера: кривая 1 — при минимальных потерях в резонаторе лазера; кривая 2 — на пороге генерации. Пунктир — кривая, построенная по формуле (5)

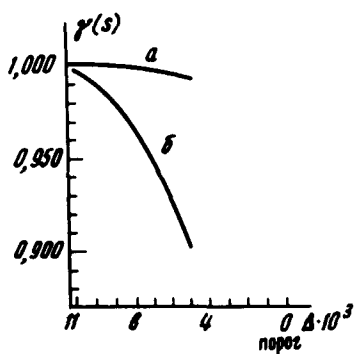


Рис. 3. Зависимость  $\gamma(s)$  от потерь в резонаторе для: а —  $I_k(s)/I_k(0) = 0,1$ ; б —  $I_k(s)/I_k(0) = 0,001$ ;  $\Delta = \ln T/T_{\text{порог}}$ ,  $T_{\text{порог}}$  — пропускание кварцевой пластиинки при котором происходит срыв генерации

4. Полученные весьма малые отличия  $\gamma(s)$  от единицы следует приписать спонтанному излучению, т. е. фактически зарегистрирована предельная, "естественная" пространственная некогерентность. Чтобы убедиться в этом, воспользуемся сначала моделью, согласно которой ла-

зерное излучение является суммой идеально когерентной моды и  $\delta$ -коррелированного шума:

$$E(r) = E_k(r) + E_N(r), \quad (3)$$

$I_k(r) = \frac{c}{8\pi} |E_k|^2 = I_0 \exp\{-r^2/r_o^2\}$ . Из (3) для  $\gamma(s)$  получаем

$$\gamma(s) = [1 + \frac{N}{I_k(s)}]^{-1} = [1 + \frac{m_a^2}{m^2}(s)]^{-1}. \quad (4)$$

Здесь  $N$  – интенсивность шума. Известно, что модель (3) адекватно оценивает амплитудные флуктуации, поэтому  $\gamma(s)$  может быть выражено также через среднеквадратичный коэффициент шумовой амплитудной модуляции  $m^2(s)$ .

Экспериментальное значение величины  $N$  вблизи центра пучка равнялось  $N_{\text{эксп}} \approx 4 \cdot 10^{-15} \text{ эн}$ . Оценка мощности спонтанного шума по формулам работы [3] для геометрии нашего эксперимента дает значение  $N_{\text{теор}} \approx 1 \cdot 10^{-15} \text{ эн}$ . Согласие следует признать вполне удовлетворительным, если учесть ограниченность области применимости результатов [3] (см. также [4]). Для  $m_a^2$  из наших данных –  $m_a^2 \approx 3 \cdot 10^{-5}$ . В опытах ([5, 6]), в которых непосредственно измерялись естественные амплитудные флуктуации одномодового лазера были получены значения:  $m^2 \approx 5 \cdot 10^{-5}$  [5] и  $m^2 = 10^{-4} \div 10^{-6}$  [6]. Таким образом, по порядку величины измеренные нами отклонения пространственной когерентности от идеальной хорошо согласуются с моделью (3), где  $E_N(r)$  представляет собой спонтанный шум. Для более точного описания хода экспериментальной кривой  $\gamma(s)$ , следует учесть и фазовые флуктуации. Если они не коррелированы с амплитудными, то

$$\gamma(s) = \exp\{-Ds\} [1 + \frac{N}{I_k(s)}]^{-1}. \quad (5)$$

По формуле (5) построена пунктирная кривая на рис. 2. Заметное краю пучка количественное отличие ее от экспериментальной кривой 1 связано, по-видимому, с неоднородностью спонтанного шума по сечению пучка [7]. Эксперимент дает  $D \approx 0,8 \cdot 10^{-2} \text{ см}^{-1}$ , так что флуктуационное уширение углового спектра  $\Delta\Omega$  в наших условиях не превышает

$\Delta\Omega = \frac{\Delta k_z}{k_z} \approx \frac{D}{k_z} \approx 1 \cdot 10^{-7}$  и существенно меньше дифракционного

$$\left( \Delta\Omega_D = \frac{1,22\lambda}{2r_o} \approx 1 \cdot 10^{-3} \right).$$

5. Относительно малый вклад технических флуктуаций в измеренную нами величину  $\gamma(s)$  связан, очевидно с сильной поперечной корреляцией технических уходов (плазменные флуктуации [8] вообще были малы). Заметим также, что в  $\gamma(s)$  роль технических флуктуаций "замазана" (см. выше).

6. Использование лазеров с высокой пространственной когерентностью и возможность регистрации ее малых изменений ( $\Delta\gamma(s) \sim 10^{-5}$ ), продемонстрированная в данной работе, позволяют обойти трудности (см.,

например [ 9]) наблюдения коллинеарного рассеяния в экспериментах по рассеянию света (радиус корреляции рассеянного излучения  $r_k < r_o$ ). Это обеспечивается тем, что в описанной схеме по существу производится оптическое вычитание когерентного падающего света, и на регистрирующее устройство попадает только шумовое излучение. Минимальная мощность рассеяния света, которую можно зарегистрировать в прямом направлении, определяется спонтанным излучением самого лазера. Наилучшую чувствительность в таких экспериментах следует ожидать при использовании газовых лазеров с ВЧ разрядом (см. [ 10]).

Московский  
государственный университет  
им. М.В.Ломоносова  
Литература

Поступила в редакцию  
25 марта 1974 г.

- [ 1] А.Г.Арутюнян, С.А.Ахманов, Ю.Д.Голяев, В.Г.Тункин, А.С.Чиркин. ЖЭТФ, 64, 1511, 1973.
  - [ 2] С.М.Аракелян, А.Г.Арутюнян, С.А.Ахманов, В.Г.Тункин, А.С.Чиркин. Квантовая электроника, М., "Советское радио", №1, 215, 1974.
  - [ 3] E.I.Gordon. The Bell System Technical Journal, 43, 507, 1964.
  - [ 4] L.T.Prescott, A.Van der Ziel. Appl. Phys. Lett., 5, 48, 1964.
  - [ 5] P.S.Magill, R.P.Soni. Phys. Rev. Lett., 16, 911, 1966.
  - [ 6] Ю.И.Зайцев. ЖЭТФ, 50, 525, 1966.
  - [ 7] И.П.Мазанько, М.М.Молчанов, Н.Д.Огурок, М.В.Свиридов. Оптика и спектроскопия, 30, 927, 1971.
  - [ 8] Ю.Г.Захаренко, В.Е.Привалов. Оптика и спектроскопия, 35, 750, 1973.
  - [ 9] Д.Мак-Интайр, Дж. Сэнджерс. Сб. Физика простых жидкостей. Экспериментальные исследования М., изд. Мир, 1973.
  - [ 10] В.И.Юдин. Сб. Квантовая электроника, М., "Советское радио" №3, (15), 1973.
-